

# ОБ ОДНОМ ИЗ АЛГОРИТМОВ ПОИСКА ОБЪЕКТОВ ПО БИМЕДИЦИНСКИМ ДАННЫМ

*А.Н. Решетников*

*Нижегородский госуниверситет им. Н.И. Лобачевского*

*E-mail: ANReshetnikov@mail.ru*

## Постановка задачи

На вход рассматриваемому алгоритму подаются данные компьютерной томографии или электронной микроскопии (всюду далее – СТ- и ЕМ-данные соответственно), представляющие собой трёхмерный массив вокселей. Каждому из элементов данного массива приписано определённое целочисленное значение плотности  $density[i, j, k] \in Z$ . При этом известны размеры каждого вокселя вдоль осей **X**, **Y** и **Z**  $ScaleX$ ,  $ScaleY$  и  $ScaleZ$  в некоторых метрических единицах. Таким образом, объём 1 вокселя исходных данных равен  $ScaleX \cdot ScaleY \cdot ScaleZ$  кубических единиц. Отметим, что данный 3D-массив можно интерпретировать двумя способами: как трёхмерное изображение и как последовательность полутоновых 2D-изображений (слоёв) одинаковой ширины и высоты.

По представленным данным требуется найти всевозможные объекты, при отсутствии какой бы то ни было априорной информации о них. Данная задача имеет важное практическое значение как один из промежуточных этапов в трёхмерной реконструкции объектов по таким данным и их последующем анализе конечным пользователем.

Многие из алгоритмов, решающие поставленную задачу, включают в себя 2 этапа:

- 1) сегментацию исходных данных для получения деталей искомым объектам или их начальных приближений;
- 2) обнаружение самостоятельных объектов по найденным сегментам.

## Сегментация исходных данных

Учитывая специфику исходных биомедицинских данных (воксельная модель представления и скалярное поле значений плотности), для решения задачи сегментации использовался *метод k-средних* (или *центров тяжести*) [1].

Для более детального представления сегментов, относящихся к разным объектам, предлагается использовать один из возможных нисходящих методов иерархической сегментации. Его суть состоит в том, что после сегментации исходных данных по значениям плотности можно ввести в рассмотрение сегменты более высокого уровня детализации, а именно, *сегменты по расстоянию* между вокселями и *связные области* (в пространственном смысле). Указанные сегменты в общем случае образуют иерархическую структуру, изображённую на рис. 1. При этом сегментацию по расстоянию можно осуществить итеративным алгоритмом, основанным на методе *k-средних*, рассматривая в качестве объектов пары индексов  $\{(i, j)\}$ , описывающих положение вокселей на одном и том же слое. В качестве меры рассогласования между вокселями  $x_1$  и  $x_2$  используется обычное евклидово расстояние, порождённое парами индексов. Связные области являются самым высоким уровнем детализации исходных данных. Для их поиска ис-

пользуется итеративный алгоритм разметки областей [2] в рамках конкретного сегмента по признаку 8-связности пикселей.

В случае послойной сегментации исходных данных (каждого слоя как 2D-изображения в отдельности) для дальнейшей идентификации объектов необходимо определить, какие сегменты на разных изображениях относятся к одним и тем же объектам. Для того, чтобы судить об этом, необходимо уметь сравнивать любые 2 сегмента друг с другом.

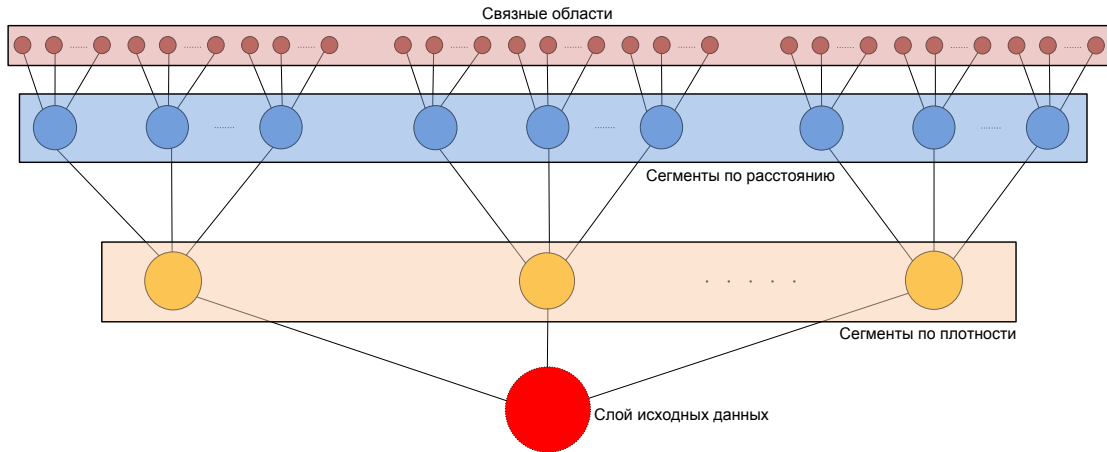


Рис. 1. Иерархическая структура сегментов после декомпозиции

Для построения дескриптора сегмента использовались следующие его атрибуты:

1) среднее значение плотности:  $\bar{\mu} = \frac{1}{|S|} \sum_{i \in S} \mu_i$ , (1)

где  $\mu_i$  – значение плотности вокселя с индексом  $i$ ;

2) среднеквадратическое отклонение плотности:  $\sigma_{\mu} = \frac{1}{|S|} \sum_{i \in S} (\mu_i - \bar{\mu})^2$ ; (2)

3) геометрический центр масс  $(\bar{x}, \bar{y})$ :  $\bar{x} = \frac{1}{|S|} \sum_{i \in S} x_i$ ,  $\bar{y} = \frac{1}{|S|} \sum_{i \in S} y_i$ , (3)

где  $(x_i, y_i)$  – координаты вокселя с индексом  $i$ ;

4) дисперсии координат вокселей (X и Y):  
 $\sigma_x = \frac{1}{|S|} \sum_{i \in S} (x_i - \bar{x})^2$ ,  $\sigma_y = \frac{1}{|S|} \sum_{i \in S} (y_i - \bar{y})^2$ ; (4)

5) объём сегмента в используемых кубических единицах:  
 $V = |S| \cdot ScaleX \cdot ScaleY \cdot ScaleZ$ . (5)

Атрибуты, вычисляемые по формулам (1) – (5), образуют признаковое описание сегмента  $S$ , или, по-другому, его **дескриптор**, который далее будем обозначать  $d(S)$ .

### Обнаружение объектов по найденным сегментам

Если исходные данные рассматривать как 3D-изображение, то результатом их сегментации является разбиение исходного множества вокселей на подмножества, соответствующие различным искомым объектам. Однако в том случае, когда применяется 2D-сегментация каждого слоя данных по отдельности, для идентификации объектов необходимо различить, какие сегменты на разных слоях относятся к одному и тому же или разным объектам. После этого для каждого объекта можно построить множество

точек, состоящее из соответствующих сегментов. Рассмотрим более детально метод, позволяющий решить данную проблему.

С помощью дескрипторов, которые ставятся в соответствие сегментам по формулам (1) – (5), можно определить степень рассогласования между сегментами  $s_1$  и  $s_2$  как расстояние *Махаланобиса* между их дескрипторами  $d(s_1)$  и  $d(s_2)$ :

$$f(s_1, s_2) = \sqrt{\sum_{i=1}^n \frac{(d_i(s_1) - d_i(s_2))^2}{\sigma_i^2}}, \quad (6)$$

где

$n$  – количество рассматриваемых атрибутов сегмента,

$d_i$  – значение  $i$ -ого атрибута,

$\sigma_i$  – среднеквадратическое отклонение  $i$ -го атрибута.

**Определение.** Последовательность сегментов на соседних слоях  $(s_{i_{k_0}}, s_{i_{k_0+1}}, \dots, s_{i_{k_0+K-1}})$ , где  $i_j$  – индекс сегмента на  $j$ -м слое,  $k_0$  – начальный слой, а  $K$  – количество слоёв, назовём *соответствием* между данными сегментами.

Таким образом, задача идентификации объектов сводится к поиску всевозможных соответствий между сегментами, расположенными на разных слоях исходных данных. Поиск таких соответствий можно рассматривать как многошаговый *динамический процесс*, в котором каждый момент времени определяется номером соответствующего слоя данных, состояниями являются сегменты, распределённые по слоям, а управлениями – переходы с сегментов текущего слоя на соседний. Следует отметить, что множество финальных состояний совпадает с множеством всех предварительно найденных 2D-сегментов, поскольку объект может начинаться и заканчиваться на любом слое исходных данных.

В процессе поиска соответствий рассматриваются сегменты самого верхнего уровня детализации, то есть листья иерархической структуры, описанной в разделе «Сегментация исходных данных». Все сегменты делятся на *занятые* (те, которые уже включены в одно из найденных соответствий) и *свободные*. В самом начале работы алгоритма все сегменты помечаются как свободные. Как только сегмент оказался включён в какое-либо соответствие, он получает статус «занят». Поиск очередного соответствия начинается с первого свободного сегмента на слое с наименьшим индексом. Для того чтобы не рассматривать слишком маленькие и/или большие детали, полученные в результате иерархической декомпозиции сегментов, можно ввести ограничения на их объём  $V$ , который должен принадлежать диапазону  $[V_{\min}; V_{\max}]$ .

Определим стоимость перехода с текущего слоя на соседний как рассогласование между дескрипторами соответствующих сегментов (состояний), тогда значение функции  $f(s_1, s_2)$  вычисляется по формуле (6), где  $s_1$  – сегмент текущего слоя, а  $s_2$  – сегмент соседнего слоя.

Тогда критерием качества найденного соответствия можно считать суммарное рассогласование между всеми соседними сегментами, образующими соответствие:

$$F = \sum_{k=k_0}^{k_0+K-2} f(s_{i_k}, s_{i_{k+1}}). \quad (7)$$

Таким образом, поиск соответствий между сегментами сводится к решению задачи минимизации функции  $F$  при перемещении от начального слоя к конечному по соответствующим сегментам (рис. 2).

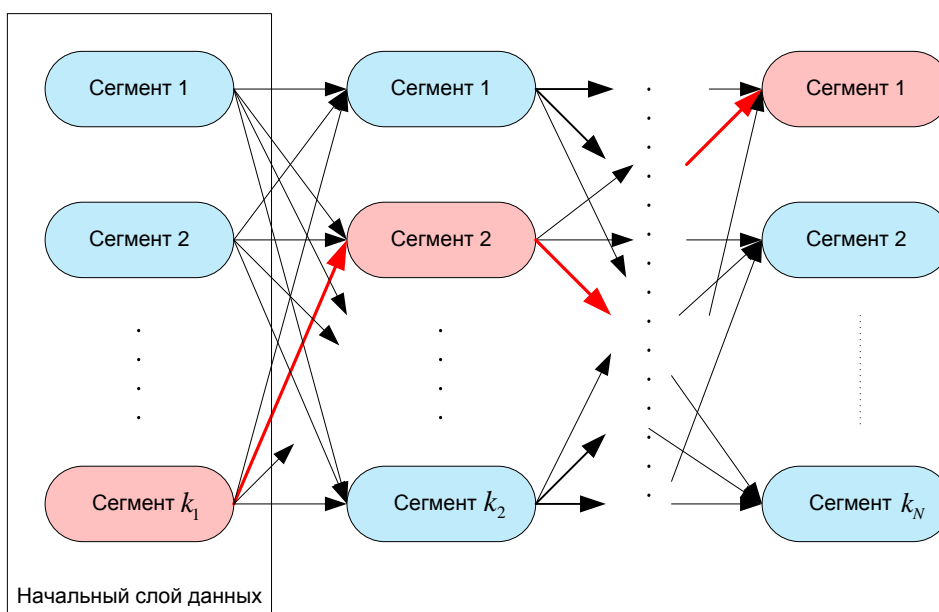


Рис. 2. Схема поиска соответствий между 2D-сегментами

Поскольку функция  $F$  аддитивна по промежутку слоёв, на которых расположены сегменты, и удовлетворяет принципу Беллмана в форме достаточного условия [3], для решения рассматриваемой задачи можно применить алгоритм пошаговой минимизации этой функции, основанный на методе рекуррентных соотношений Беллмана [3].

Приведём более подробное описание данного алгоритма применительно к рассматриваемой задаче, используя следующие обозначения:

$s$  – массив сегментов,

**IsSegmentUsed** – булевы переменные (флаги) использования сегментов,

**layer\_index** – индекс текущего слоя данных (служебная переменная),

**Disparity** – текущее значение минимальной стоимости переходов по соответствию,

$N$  – общее количество слоёв исходных данных.

**Шаг 1.** Полагаем для всех сегментов **IsSegmentUsed** = false.

**Шаг 2.** В цикле по  $I$  от 0 до  $N-1$  и по сегментам  $s[I][J]$ , принадлежащим слою  $I$ , если **IsSegmentUsed** $[I][J]$  == false, выполняем **Шаг 3** – **Шаг 5**.

**Шаг 3.** Полагаем **layer\_index** =  $I$ , **Disparity** = 0.

**Шаг 4.** Создаём новое соответствие и добавляем в него сегмент с индексом  $J$  на слое **layer\_index**.

**Шаг 5.** Пока **layer\_index** <  $N$ , выполняем **Шаг 6** – **Шаг 10**. После этого переходим на **Шаг 2**.

**Шаг 6.** В цикле по  $K$  по сегментам слоя **layer\_index** + 1 выбираем тот, объём которого принадлежит заданному диапазону  $[V_{\min}; V_{\max}]$  и который доставляет минимум величины **Disparity** +  $F(s[\text{layer\_index}][J], s[\text{layer\_index}+1][K])$ . Обозначим его  $L$ .

**Шаг 7.** Добавляем сегмент с индексом  $L$  в созданное соответствие.

**Шаг 8.** Полагаем **Disparity** = **Disparity** +  $F(s[\text{layer\_index}][J], s[\text{layer\_index}+1][L])$ .

**Шаг 9.** **IsSegmentUsed** $[\text{layer\_index}+1][L]$  = true.

**Шаг 10.** Увеличиваем **layer\_index** на 1 и переходим на **Шаг 5**.

### Конец алгоритма

На рис. 3 в верхнем ряду показаны несколько последовательно расположенных слоёв одной из томограмм, а в нижнем – результаты сегментации каждого из слоёв. При этом одинаковыми цветами раскрашены сегменты, образующие один и тот же объект.

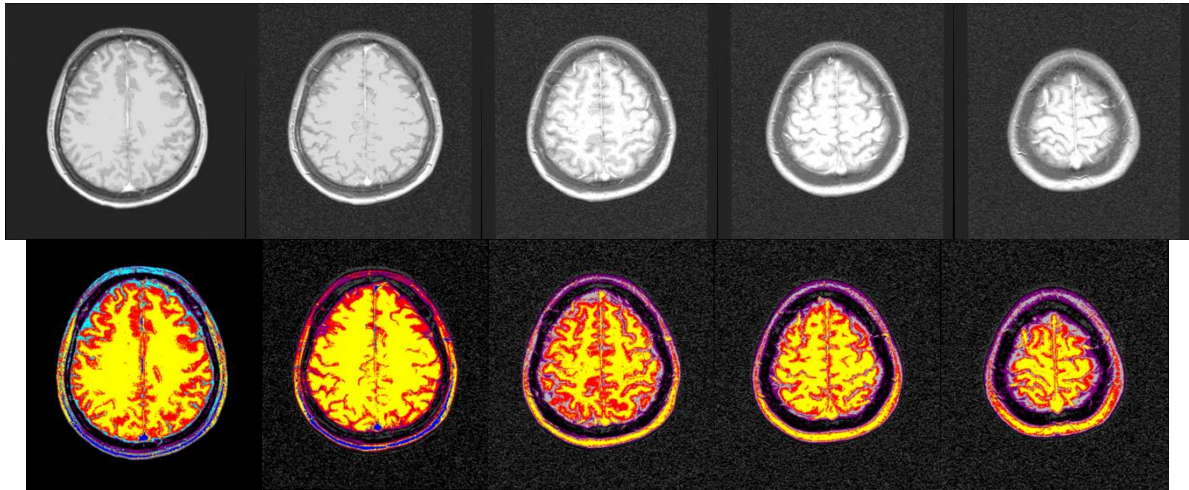


Рис. 3. Пример результатов поиска соответствий между 2D-сегментами

### Повышение производительности вычислений

Вышеописанный алгоритм использовался при разработке программной системы Neocortex. В ходе этой разработки были реализованы как последовательная, так и параллельная (для GPU, с использованием технологии OpenCL) версии сегментации методом  $k$ -средних для решения поставленной задачи, которые используются для получения сегментов первого и второго уровней декомпозиции. При этом на каждом из этих двух этапов декомпозиции было получено ускорение от 4 до 10 раз в сравнении с последовательными реализациями [4].

Дальнейшее повышение производительности связано с разработкой параллельной схемы разметки связных областей (третий уровень декомпозиции сегментов) и алгоритма поиска соответствий между сегментами. Для этого целесообразно использовать возможности как центрального, так и графических процессоров.

### Литература

1. Lloyd S. Least square quantization in PCM's. Bell Telephone Laboratories Paper, 1957.
2. Форсайт Д. Компьютерное зрение. Современный подход / Д. Форсайт, Ж. Понс. – Пер. с англ. – М.: Издательский дом «Вильямс», 2004. – 928 с.
3. Беллман Р. Динамическое программирование. – М.: Изд-во иностранной литературы, 1960.
4. Решетников А.Н. Параллельная реализация сегментации компьютерных томограмм методом центров тяжести с использованием технологии OpenCL // Высокопроизводительные параллельные вычисления на кластерных системах: Доклад на XI Всероссийской конференции, Н. Новгород, 1-3 ноября 2011. – С. 258–261.

Thank you for evaluating AnyBizSoft PDF Splitter.

A watermark is added at the end of each output PDF file.

To remove the watermark, you need to purchase the software from

<http://www.anypdftools.com/buy/buy-pdf-splitter.html>